

薄肉曲線析の断面変形について

京都大学工学部 正員 小西一郎
 京都大学工学部 正員 白石成人
 大成建設 正員 ○中塚静夫
 川崎製鉄 正員 寺本正
 京都大学大学院 学生員 北園茂喜

1 まえがき

本研究は、断面変形を考慮した薄肉閉断面直線析に関する Vlasov の理論を曲線析に応用することにより基礎方程式を誘導し、また数値計算を行うことにより、中間ダイヤフラムの断面変形に対する効果を調べたものである。

2 基礎方程式の誘導

右図の様な座標(Z, S)を取り、座標軸方向の変位を U, V とする。 U, V を次の様に表わす。

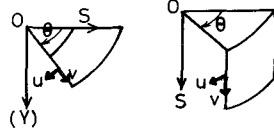
$$U(Z, S) = \sum_i U_i(Z) \varphi_i(S), \quad V(Z, S) = \sum_j V_j(Z) \gamma_j(S) \quad (1)$$

曲線析は扇形板と円筒シェルから構成されていると考える。それぞれにおける変位とひずみの関係は、次の様になる。

$$\text{扇形板では } \varepsilon = \frac{\partial u}{\partial \theta} - \frac{v}{R}, \quad \gamma = \frac{\partial v}{\partial \theta} + \frac{\partial u}{\partial s} - \frac{u}{R} \quad (2)$$

$$\text{円筒シェルでは } \varepsilon = \frac{\partial u}{\partial \theta}, \quad \gamma = \frac{\partial v}{\partial \theta} + \frac{\partial u}{\partial s} \quad (3)$$

ただし、 θ は右図に示す通りであり、 $Rd\theta = dz$ である。



応力とひずみの関係には フックの法則から $\sigma = E \varepsilon, \tau = G \gamma$ (4) を用いる。

薄肉閉断面曲線析から、隣接する 2 つの横断面によって 重心線の単位長に相当する要素を取り出す。この要素におけるつり合い条件式を仮想仕事の原理より求めよ。 φ_i, γ_j を仮想変位にとることにより、次式が得られる。

$$\int_F \frac{1}{R} \frac{\partial \sigma}{\partial \theta} \varphi_i dF - \int_{F'} \frac{1}{R} \tau \varphi_i dF - \int_F \tau \varphi'_i dF + \int_L p \varphi_i dF = 0, \quad (i=1, \dots, m) \quad (5)$$

$$\int_F \frac{1}{R} \frac{\partial \tau}{\partial \theta} \gamma_j dF + \int_{F'} \frac{1}{R} \sigma \gamma_j dF - \sum_h V_h \int_L \frac{M_j M_h}{EJ} ds + \int_L 8 \gamma_j dF = 0, \quad (j=1, \dots, n)$$

(5) 式と (1) ~ (4) 式を代入することにより、 U_i, V_j に関する基礎方程式が得られる。

$$\begin{aligned} & \sum_i^m A_{ih} \ddot{U}_i + \sum_j^m \left[-(Y+1) F_{jh} - K_{jh} \right] \dot{V}_j + \sum_k^m \left(-B_{kh} + \bar{A}_{kh} - L_{kh} + B_{kh} \right) U_k + \frac{1}{G} P_h = 0 \\ & \sum_j^m C_{jh} \ddot{V}_j + \sum_i^m \left(K_{hi} - F_{ih} + Y F_{ih} \right) \dot{U}_i - \sum_j^m \left(Y \bar{C}_{jh} + \frac{1}{G} A_{jh} \right) V_j + \frac{1}{G} 8_h = 0 \end{aligned} \quad (6)$$

$$k = 1, 2, \dots, m, \quad h = 1, 2, \dots, n$$

$$\begin{aligned} \text{ここで} \quad & Y = E/G, \quad A_{ih} = \int_F \frac{R^2}{R^2} \varphi_i \varphi_h dF, \quad F_{jh} = \int_F \frac{R_0}{R^2} \varphi_k \gamma_j dF, \quad K_{jh} = \int_F \frac{R_0}{R} \varphi'_k \gamma_j dF \\ & B_{kh} = \int_F \frac{1}{R} \varphi_k \varphi'_h dF, \quad \bar{A}_{kh} = \int_F \frac{1}{R^2} \varphi_i \varphi_h dF, \quad L_{kh} = \int_F \varphi'_i \varphi'_h dF, \quad C_{jh} = \int_F \frac{R^2}{R^2} \gamma_j \gamma_h dF, \quad A_{jh} = \int_L \frac{M_j M_h}{EJ} ds \end{aligned}$$

(6) 式において、 $\varphi_1 = 1, \varphi_2 = x, \varphi_3 = y, \varphi_4 = xy, \gamma_1 = h, \gamma_2 = x', \gamma_3 = y', \gamma_4 = x'y + xy'$ とすることにより、長方形断面を有する薄肉閉断面曲線析の U_i, V_j に関する基礎方程式が得られる。

3 数値解析

計算には、次の様な境界条件の曲線析を用いる。(1) 析の両端での横方向変位ひはない。(2)両端で析軸方向変位は自由である。この様な境界条件ゆえ (1)式の U_i, V_i は次の様に表わされる。 $U_i = \sum U_i^{(n)} \cos \frac{n\pi}{L} z, V_i = \sum V_i^{(n)} \sin \frac{n\pi}{L} z$ 荷重 P_i, δ_i も同様にフーリエ級数で表現してこれらを (6)式に代入すれば $U_i^{(n)}, V_i^{(n)}, P_i^{(n)}, \delta_i^{(n)}$ に関して $[K_n] \{ \delta^{(n)} \} = \{ \delta^{(n)} \}$ なる関係式が得られ $\{ \delta^{(n)} \} = [K_n]^{-1} \{ \delta^{(n)} \}$ から $U_i^{(n)}, V_i^{(n)}$ が求まる。

中間ダイヤフラムが $z = z_i$ に存在すれば $V_4(z_i) = 0$ を満足する条件式が成立する。これより、 n 個の中間ダイヤフラムに作用する $Q_4 = Q_i$ を求めるには

$$\sum_j d_{ji} Q_j + d_{ii} = 0 \quad (i = 1, 2, \dots, n)$$

なる n 個の連立方程式を解けばよい。ここで d_{ji} は $z = z_j$ に $Q_4 = 1$ が作用したときの $z = z_i$ の V_4 の値、 d_{ii} は外荷重による $z = z_i$ の V_4 の値を示す。

計算に用いた断面は (1) 幅 10m 高さ 5m, (2) 幅 10m 高さ 3m, (3) 幅 5m 高さ 5m の 3 種類である。析軸長は 100m、曲率半径は 100m, 200m, 500m, ∞ (10^8 m) をとった。

断面(2)の曲率半径 100m に等分布ねじり荷重が作用した場合の変位と中間ダイヤフラム数の関係は右図の様になる。

また、断面(2)に等分布ねじり荷重が作用した場合の応力と中間ダイヤフラム数の関係は下図の様になる。

他の例については当日発表する予定である。

4 結論

(1) 本研究の計算に用いた寸法の薄肉曲線析においては、中間ダイヤフラムが 10 個以上設けられることにより、断面変形の影響はほとんど無視できる。

(2) 曲率の断面変形に与える影響は、中間ダイヤフラムの個数の断面変形に与える影響に比べて小さい。したがって中間ダイヤフラムの設計に関しては直線析の場合に準じてよいと考えられる。

参考文献：V.Z.ウラソフ、薄肉弾性ばりの理論、奥村他訳
技報堂

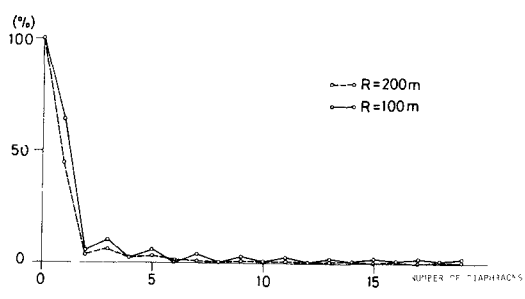
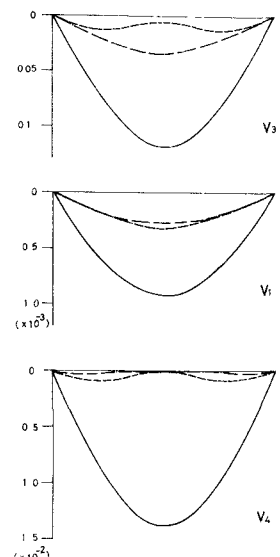


FIG - NORMAL STRESS (AT CENTER SPAN)

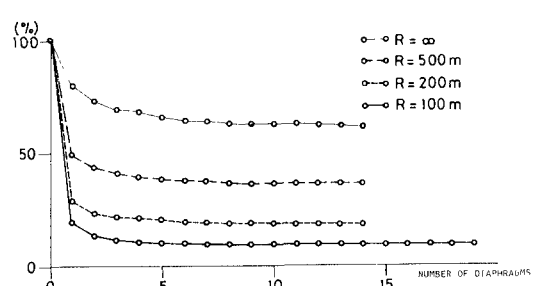


FIG - MAXIMUM SHEAR STRESS (OF WEB)